

+

0

AGH UST Kraków

WFILS Fizyka Techniczna

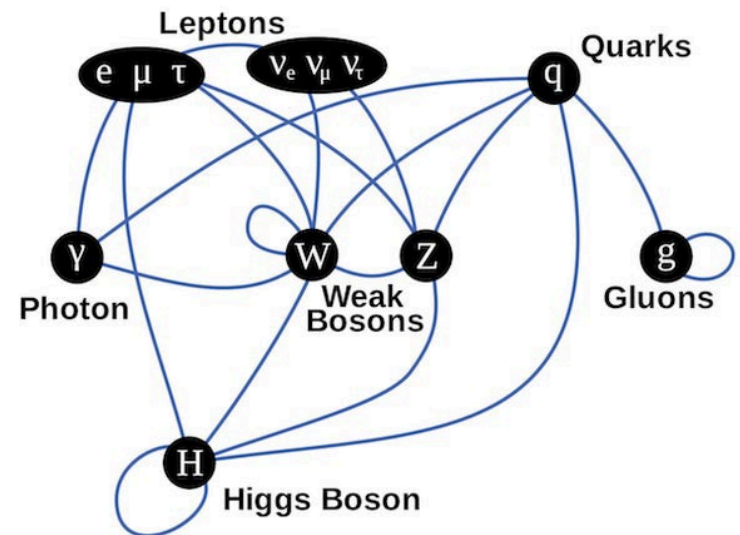
[illegible]

# SPIS TREŚCI

1. Wprowadzenie – co już wiemy o MS i QFT
2. Relatywistyka
3. Cząstki
4. Pola
5. Symetrie i grupy
6. Oddziaływania elektromagnetyczne
7. Lokalna i globalna symetria cechowania
8. Oddziaływania elektroslabe
9. Oddziaływania silne

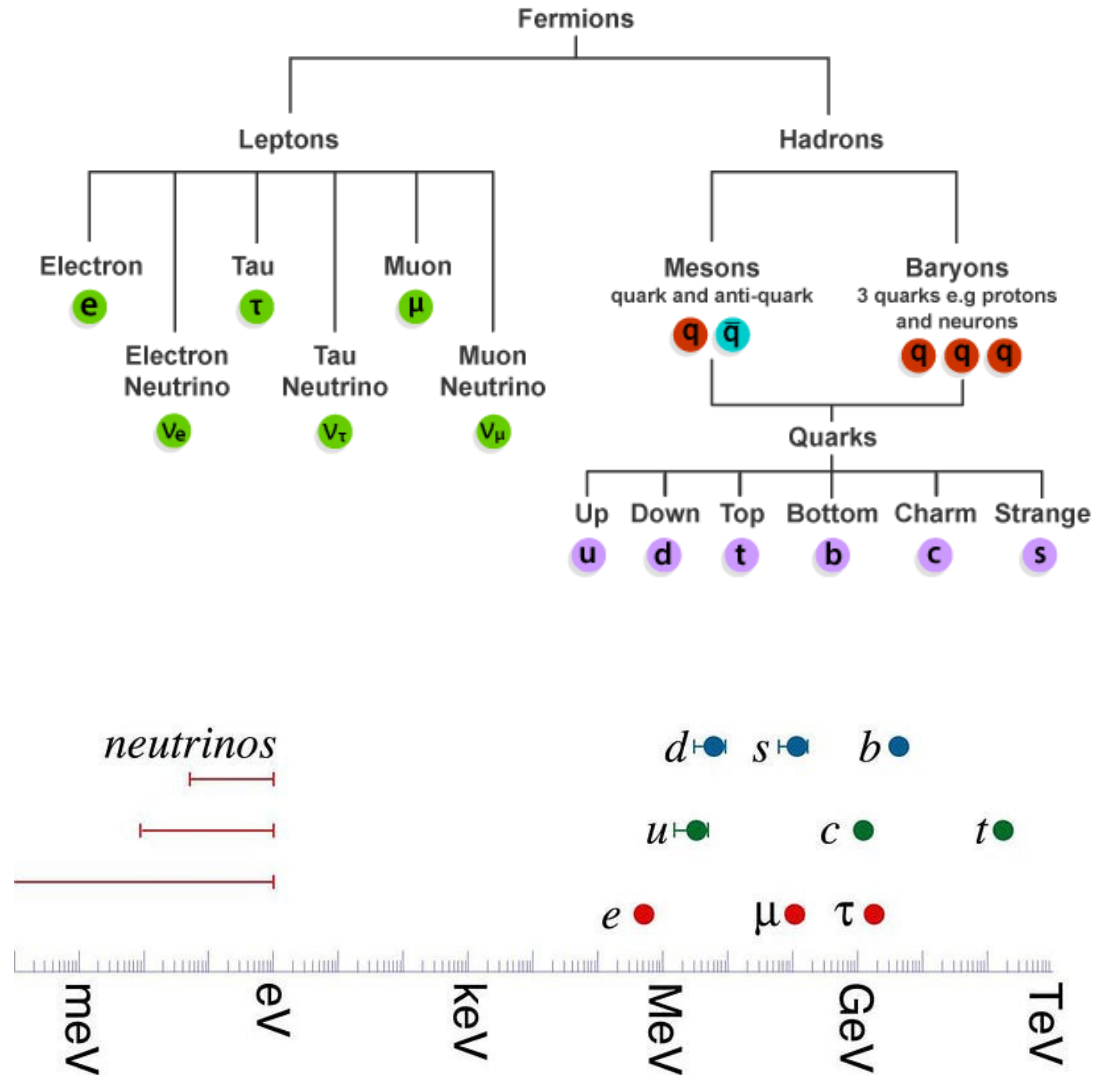
# MS na obrazku

|              |  |  |  |                                      |                               |
|--------------|--|--|--|--------------------------------------|-------------------------------|
| mass →       | $\approx 2.3 \text{ MeV}/c^2$                  | $\approx 1.275 \text{ GeV}/c^2$              | $\approx 173.07 \text{ GeV}/c^2$             | 0                                    | $\approx 126 \text{ GeV}/c^2$ |
| charge →     | $2/3$  | $2/3$  | $2/3$  | 0                                    | 0                             |
| spin →       | $1/2$  | $1/2$  | $1/2$  | 1                                    | 0                             |
|              | <b>u</b><br>up                                 | <b>c</b><br>charm                            | <b>t</b><br>top                              | <b>g</b><br>gluon                    | <b>H</b><br>Higgs boson       |
| QUARKS       | $\approx 4.8 \text{ MeV}/c^2$                  | $\approx 95 \text{ MeV}/c^2$                 | $\approx 4.18 \text{ GeV}/c^2$               | 0                                    |                               |
|              | $-1/3$   | $-1/3$                                       | $-1/3$                                       | 0                                    |                               |
|              | $1/2$  | $1/2$  | $1/2$  | 1                                    |                               |
|              | <b>d</b><br>down                               | <b>s</b><br>strange                          | <b>b</b><br>bottom                           | <b><math>\gamma</math></b><br>photon |                               |
| LEPTONS      | $0.511 \text{ MeV}/c^2$                        | $105.7 \text{ MeV}/c^2$                      | $1.777 \text{ GeV}/c^2$                      | $91.2 \text{ GeV}/c^2$               |                               |
|              | -1   | -1   | -1   | 0                                    |                               |
|              | $1/2$  | $1/2$  | $1/2$  | 1                                    |                               |
|              | <b>e</b><br>electron                           | <b><math>\mu</math></b><br>muon              | <b><math>\tau</math></b><br>tau              | <b>Z</b><br>Z boson                  |                               |
| GAUGE BOSONS | $< 2.2 \text{ eV}/c^2$                         | $< 0.17 \text{ MeV}/c^2$                     | $< 15.5 \text{ MeV}/c^2$                     | $80.4 \text{ GeV}/c^2$               |                               |
|              | 0  | 0  | 0  | $\pm 1$                              |                               |
|              | $1/2$  | $1/2$  | $1/2$  | 1                                    |                               |
|              | <b><math>\nu_e</math></b><br>electron neutrino | <b><math>\nu_\mu</math></b><br>muon neutrino | <b><math>\nu_\tau</math></b><br>tau neutrino | <b>W</b><br>W boson                  |                               |



Model Standardowy ma już 50 lat!

# Masy w Modelu Standardowym (problem)



# MS - Lagranżian

$$\mathcal{L}_{SM} = \mathcal{L}_0 + \mathcal{L}'$$

$\mathcal{L}_0$  - pola (cząstki) swobodne)  
 $\mathcal{L}'$  - oddziaływania

$$\mathcal{L}_0 = -\frac{1}{4}F_{\mu\nu}F^{\mu\nu} + \boxed{i\bar{\psi}\gamma^\mu\partial_\mu\psi} \quad \text{fermiony}$$

$$\mathcal{L}' = \boxed{e\bar{\psi}\gamma^\mu A_\mu\psi} \quad \text{oddz. fermion-foton}$$

$$\begin{aligned} \mathcal{L}_{SM} = & \underbrace{\frac{1}{4}W_{\mu\nu} \cdot W^{\mu\nu} - \frac{1}{4}B_{\mu\nu}B^{\mu\nu} - \frac{1}{4}G_{\mu\nu}^\alpha G_{\alpha}^{\mu\nu}}_{\text{kinetic energies and self-interactions of the gauge bosons}} \\ & + \underbrace{\bar{L}\gamma^\mu\left(i\partial_\mu - \frac{1}{2}g\tau\cdot W_\mu - \frac{1}{2}g'YB_\mu\right)L + \bar{R}\gamma^\mu\left(i\partial_\mu - \frac{1}{2}g'YB_\mu\right)R}_{\text{kinetic energies and electroweak interactions of fermions}} \\ & + \underbrace{\frac{1}{2}\left|\left(i\partial_\mu - \frac{1}{2}g\tau\cdot W_\mu - \frac{1}{2}g'YB_\mu\right)\phi\right|^2 - V(\phi)}_{W^\pm, Z, \gamma \text{ and Higgs masses and couplings}} \\ & + \underbrace{g''(\bar{q}\gamma^\mu T_a q)G_\mu^\alpha}_{\text{interactions between quarks and gluons}} + \underbrace{(G_1\bar{L}\phi R + G_2\bar{L}\phi_c R + h.c.)}_{\text{fermion masses and couplings to Higgs}} \end{aligned}$$

# MS w równaniu

$$\begin{aligned}
 & -\frac{1}{2}\partial_\nu g_\mu^a \partial_\nu g_\mu^a - g_s f^{abc} \partial_\mu g_\nu^a g_\mu^b g_\nu^c - \frac{1}{4} g_s^2 f^{abc} f^{ade} g_\mu^b g_\nu^c g_\mu^d g_\nu^e + \\
 & \frac{1}{2} i g_s^2 (\bar{q}_i^\alpha \gamma^\mu q_j^\alpha) g_\mu^a + G^a \partial^2 G^a + g_s f^{abc} \partial_\mu G^a G^b g_\mu^c - \partial_\nu W_\mu^+ \partial_\nu W_\mu^- - \\
 & M^2 W_\mu^+ W_\mu^- - \frac{1}{2} \partial_\nu Z_\mu^0 \partial_\nu Z_\mu^0 - \frac{1}{2 c_w^2} M^2 Z_\mu^0 Z_\mu^0 - \frac{1}{2} \partial_\mu A_\nu \partial_\mu A_\nu - \frac{1}{2} \partial_\mu H \partial_\mu H - \\
 & \frac{1}{2} m_h^2 H^2 - \partial_\mu \phi^+ \partial_\mu \phi^- - M^2 \phi^+ \phi^- - \frac{1}{2} \partial_\mu \phi^0 \partial_\mu \phi^0 - \frac{1}{2 c_w^2} M \phi^0 \phi^0 - \beta_h [\frac{2M^2}{g^2} + \\
 & \frac{2M}{g} H + \frac{1}{2} (H^2 + \phi^0 \phi^0 + 2\phi^+ \phi^-)] + \frac{2M^4}{g^2} \alpha_h - i g c_w [\partial_\nu Z_\mu^0 (W_\mu^+ W_\nu^- - \\
 & W_\nu^+ W_\mu^-) - Z_\nu^0 (W_\mu^+ \partial_\nu W_\mu^- - W_\mu^- \partial_\nu W_\mu^+) + Z_\mu^0 (W_\nu^+ \partial_\nu W_\mu^- - \\
 & W_\nu^- \partial_\nu W_\mu^+) - i g s_w [\partial_\nu A_\mu (W_\mu^+ W_\nu^- - W_\nu^+ W_\mu^-) - A_\nu (W_\mu^+ \partial_\nu W_\mu^- - \\
 & W_\mu^- \partial_\nu W_\mu^+) + A_\mu (W_\nu^+ \partial_\nu W_\mu^- - W_\nu^- \partial_\nu W_\mu^+)] - \frac{1}{2} g^2 W_\mu^+ W_\mu^- W_\nu^+ W_\nu^- + \\
 & \frac{1}{2} g^2 W_\mu^+ W_\nu^- W_\mu^+ W_\nu^- + g^2 c_w^2 (Z_\mu^0 W_\mu^+ Z_\nu^0 W_\nu^- - Z_\mu^0 Z_\nu^0 W_\mu^+ W_\nu^-) + \\
 & g^2 s_w^2 (A_\mu W_\mu^+ A_\nu W_\nu^- - A_\mu A_\nu W_\mu^+ W_\nu^-) + g^2 s_w c_w [A_\mu Z_\nu^0 (W_\mu^+ W_\nu^- - \\
 & W_\nu^+ W_\mu^-) - 2 A_\mu Z_\mu^0 W_\nu^+ W_\nu^-] - g \alpha [H^3 + H \phi^0 \phi^0 + 2 H \phi^+ \phi^-] - \\
 & \frac{1}{8} g^2 \alpha_h [H^4 + (\phi^0)^4 + 4(\phi^+ \phi^-)^2 + 4(\phi^0)^2 \phi^+ \phi^- + 4 H^2 \phi^+ \phi^- + 2(\phi^0)^2 H^2] - \\
 & g M W_\mu^+ W_\mu^- H - \frac{1}{2} g \frac{M}{c_w} Z_\mu^0 Z_\mu^0 H - \frac{1}{2} i g [W_\mu^+ (\phi^0 \partial_\mu \phi^- - \phi^- \partial_\mu \phi^0) - \\
 & W_\mu^- (\phi^0 \partial_\mu \phi^+ - \phi^+ \partial_\mu \phi^0)] + \frac{1}{2} g [W_\mu^+ (H \partial_\mu \phi^- - \phi^- \partial_\mu H) - W_\mu^- (H \partial_\mu \phi^+ - \\
 & \phi^+ \partial_\mu H)] + \frac{1}{2} g \frac{1}{c_w} (Z_\mu^0 (H \partial_\mu \phi^0 - \phi^0 \partial_\mu H) - i g \frac{s_w^2}{c_w} M Z_\mu^0 (W_\mu^+ \phi^- - W_\mu^- \phi^+) + \\
 & i g s_w M A_\mu (W_\mu^+ \phi^- - W_\mu^- \phi^+) - i g \frac{1-2c_w^2}{2c_w} Z_\mu^0 (\phi^+ \partial_\mu \phi^- - \phi^- \partial_\mu \phi^+) + \\
 & i g s_w A_\mu (\phi^+ \partial_\mu \phi^- - \phi^- \partial_\mu \phi^+) - \frac{1}{4} g^2 W_\mu^+ W_\mu^- [H^2 + (\phi^0)^2 + 2\phi^+ \phi^-] - \\
 & \frac{1}{4} g^2 \frac{1}{c_w^2} Z_\mu^0 Z_\mu^0 [H^2 + (\phi^0)^2 + 2(2s_w^2 - 1)^2 \phi^+ \phi^-] - \frac{1}{2} g^2 \frac{s_w^2}{c_w} Z_\mu^0 \phi^0 (W_\mu^+ \phi^- + \\
 & W_\mu^- \phi^+) - \frac{1}{2} i g^2 \frac{s_w^2}{c_w} Z_\mu^0 H (W_\mu^+ \phi^- - W_\mu^- \phi^+) + \frac{1}{2} g^2 s_w A_\mu \phi^0 (W_\mu^+ \phi^- + \\
 & W_\mu^- \phi^+) + \frac{1}{2} i g^2 s_w A_\mu H (W_\mu^+ \phi^- - W_\mu^- \phi^+) - g^2 \frac{s_w}{c_w} (2c_w^2 - 1) Z_\mu^0 A_\mu \phi^+ \phi^- - \\
 & g^1 s_w^2 A_\mu A_\mu \phi^+ \phi^- - \bar{e}^\lambda (\gamma \partial + m_e^\lambda) e^\lambda - \bar{\nu}^\lambda \gamma \partial \nu^\lambda - \bar{u}^\lambda (\gamma \partial + m_u^\lambda) u_j^\lambda - \\
 & d_j^\lambda (\gamma \partial + m_d^\lambda) d_j^\lambda + i g s_w A_\mu [- (\bar{e}^\lambda \gamma^\mu e^\lambda) + \frac{2}{3} (\bar{u}_j^\lambda \gamma^\mu u_j^\lambda) - \frac{1}{3} (\bar{d}_j^\lambda \gamma^\mu d_j^\lambda)] + \\
 & \frac{i g}{4 c_w} Z_\mu^0 [(\bar{\nu}^\lambda \gamma^\mu (1 + \gamma^5) \nu^\lambda) + (\bar{e}^\lambda \gamma^\mu (4s_w^2 - 1 - \gamma^5) e^\lambda) + (\bar{u}_j^\lambda \gamma^\mu (\frac{4}{3} s_w^2 - \\
 & 1 - \gamma^5) u_j^\lambda) + (\bar{d}_j^\lambda \gamma^\mu (1 - \frac{8}{3} s_w^2 - \gamma^5) d_j^\lambda)] + \frac{i g}{2\sqrt{2}} W_\mu^+ [(\bar{\nu}^\lambda \gamma^\mu (1 + \gamma^5) e^\lambda) + \\
 & (\bar{u}_j^\lambda \gamma^\mu (1 + \gamma^5) C_{\lambda\kappa} d_j^\kappa)] + \frac{i g}{2\sqrt{2}} W_\mu^- [(\bar{e}^\lambda \gamma^\mu (1 + \gamma^5) \nu^\lambda) + (\bar{d}_j^\kappa C_{\lambda\kappa}^\dagger \gamma^\mu (1 + \\
 & \gamma^5) u_j^\lambda)] + \frac{i g}{2\sqrt{2}} \frac{m_\lambda^2}{M} [-\phi^+ (\bar{\nu}^\lambda (1 - \gamma^5) e^\lambda) + \phi^- (\bar{e}^\lambda (1 + \gamma^5) \nu^\lambda)] - \\
 & \frac{g}{2} \frac{m_\lambda^2}{M} [H (\bar{e}^\lambda e^\lambda) + i \phi^0 (\bar{e}^\lambda \gamma^5 e^\lambda)] + \frac{i g}{2M\sqrt{2}} \phi^+ [-m_d^\kappa (\bar{u}_j^\lambda C_{\lambda\kappa} (1 - \gamma^5) d_j^\kappa) + \\
 & m_u^\kappa (\bar{u}_j^\lambda C_{\lambda\kappa} (1 + \gamma^5) d_j^\kappa) + \frac{i g}{2M\sqrt{2}} \phi^- [m_d^\kappa (\bar{d}_j^\lambda C_{\lambda\kappa}^\dagger (1 + \gamma^5) u_j^\kappa) - m_u^\kappa (\bar{d}_j^\lambda C_{\lambda\kappa}^\dagger (1 - \\
 & \gamma^5) u_j^\kappa) - \frac{g}{2} \frac{m_\lambda^2}{M} H (\bar{u}_j^\lambda u_j^\lambda) - \frac{g}{2} \frac{m_\lambda^2}{M} H (\bar{d}_j^\lambda d_j^\lambda) + \frac{i g}{2} \frac{m_\lambda^2}{M} \phi^0 (\bar{u}_j^\lambda \gamma^5 u_j^\lambda) - \\
 & \frac{i g}{2} \frac{m_\lambda^2}{M} \phi^0 (\bar{d}_j^\lambda \gamma^5 d_j^\lambda) + \bar{X}^+ (\partial^2 - M^2) X^+ + \bar{X}^- (\partial^2 - M^2) X^- + \bar{X}^0 (\partial^2 - \\
 & \frac{M^2}{c_w^2}) X^0 + \bar{Y}^\dagger Y + i g c_w W_\mu^+ (\partial_\mu \bar{X}^0 X^- - \partial_\mu \bar{X}^+ X^0) + i g s_w W_\mu^+ (\partial_\mu \bar{Y} X^- - \\
 & \partial_\mu \bar{X}^+ Y) + i g c_w W_\mu^- (\partial_\mu \bar{X}^- X^0 - \partial_\mu \bar{X}^0 X^+) + i g s_w W_\mu^- (\partial_\mu \bar{X}^- Y - \\
 & \partial_\mu \bar{Y} X^+) + i g c_w Z_\mu^0 (\partial_\mu \bar{X}^+ X^+ - \partial_\mu \bar{X}^- X^-) + i g s_w A_\mu (\partial_\mu \bar{X}^+ X^+ - \\
 & \partial_\mu \bar{X}^- X^-) - \frac{1}{2} g M [\bar{X}^+ X^+ H + \bar{X}^- X^- H + \frac{1}{c_w} \bar{X}^0 X^0 H] + \\
 & \frac{1-2c_w^2}{2c_w} i g M [\bar{X}^+ X^0 \phi^+ - \bar{X}^- X^0 \phi^-] + \frac{1}{2c_w} i g M [\bar{X}^0 X^- \phi^+ - \bar{X}^0 X^+ \phi^-] + \\
 & i g M s_w [\bar{X}^0 X^- \phi^+ - \bar{X}^0 X^+ \phi^-] + \frac{1}{2} i g M [\bar{X}^+ X^+ \phi^0 - \bar{X}^- X^- \phi^0]
 \end{aligned}$$

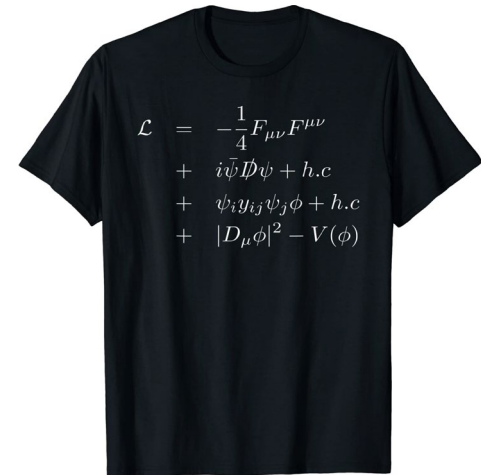
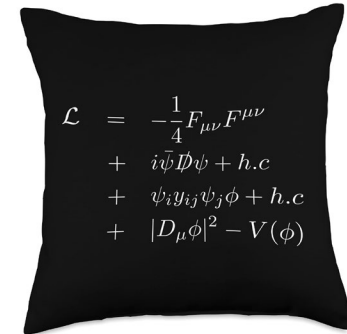
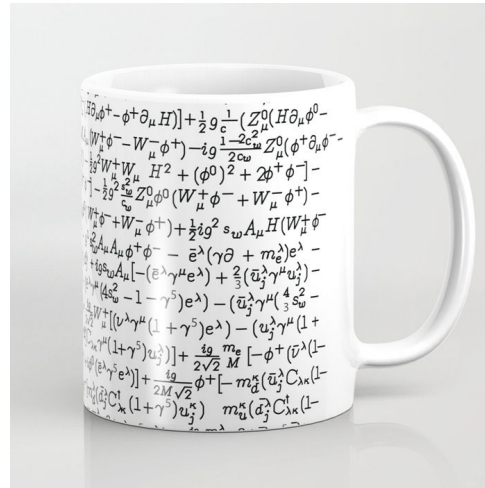
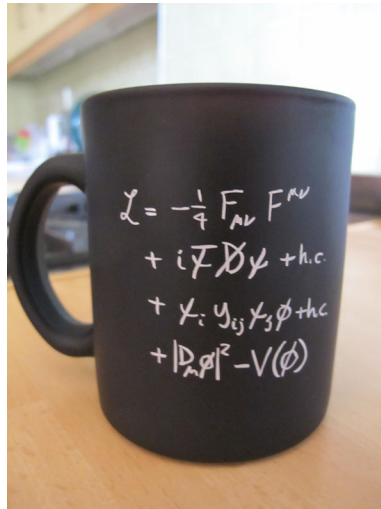
gluon

Bozony W i Z

słabe oddziaływanie  
cząstek

wirtualne duchy

# MS przy porannej kawie





# Struktura Modelu Standardowego

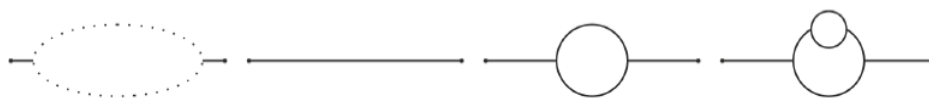
- MS jest to MODEL, a nie TEORIA.
- MS jest to efektywna teoria, w której istotną rolę odgrywają wyniki doświadczalne (np. masa elektronu, stałe sprzężenia, etc.).

Teoria strun (dla odmiany) nie potrzebuje wyników – jest wyprowadzana z czysto matematycznych przesłanek.

- MS oparty jest na teorii, w której liczba cząstek nie jest stała, ale są one nieustannie tworzone i ciągle anihilują.

tą teorią nie jest Mechanika Kwantowa, ani Relatywistyczna MK

- MS oparty jest na Kwantowej Teorii Pola (QFT).



$$MS(QFT) = QM + RM$$

© Original Artist  
Reproduction rights obtainable from  
[www.CartoonStock.com](http://www.CartoonStock.com)



"I still don't understand quantum theory."

search ID: mshn197

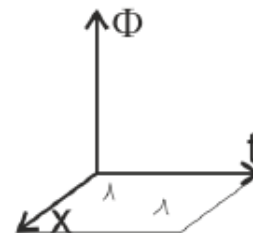
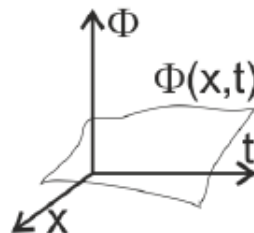
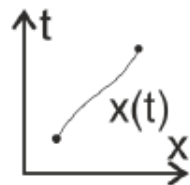


# QFT – pierwsze spojrzenie



QFT czerpie z mechaniki klasycznej, mechaniki kwantowej i mechaniki relatywistycznej

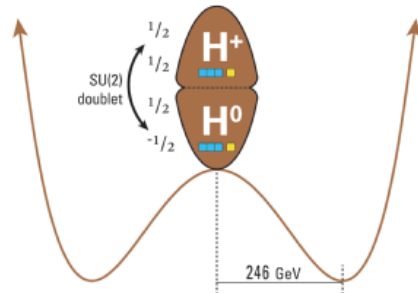
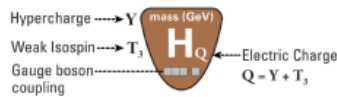
1. Cząstka porusza się po czasoprzestrzennej trajektorii opisanej funkcją  $x(t)$ , czas jest tu parametrem.
2. Pole to obiekt opisany funkcją  $\Phi(x, t)$ . Zupełnie różny od cząstek.
3. Ale czasem występują małe fluktuacje tego pola, i je przypiszemy powstaniu cząstek.



4. QFT to teoria uwzględniająca spin, identyczność cząstek, zjawiska perturbacyjne i nieperturbacyjne

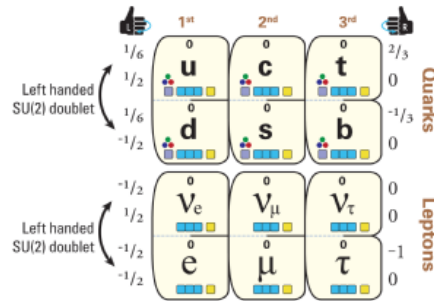
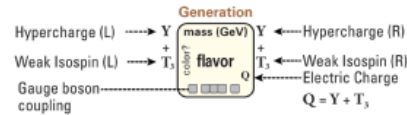
# The Standard Model of Particle Physics

## Spin 0 (Higgs Boson)



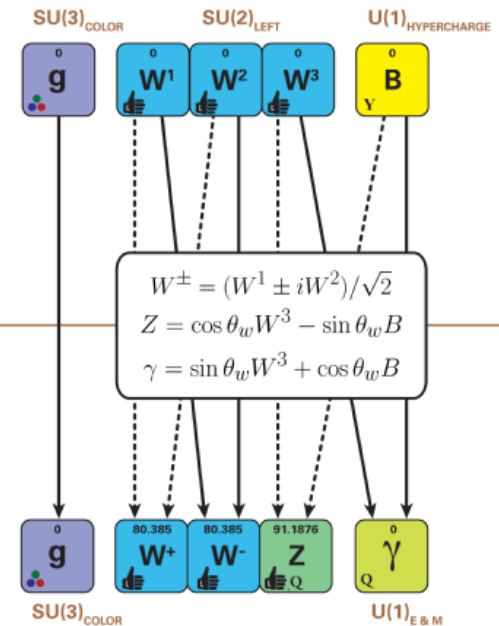
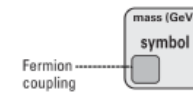
Unbroken Symmetry  
Broken Symmetry

## Spin 1/2 (Fermions)



| 1 <sup>st</sup>            | 2 <sup>nd</sup>                | 3 <sup>rd</sup>                  |
|----------------------------|--------------------------------|----------------------------------|
| 0.0023<br>$u$ (2/3)        | 1.275<br>$c$ (2/3)             | 173.07<br>$t$ (2/3)              |
| 0.0048<br>$d$ (-1/3)       | 0.095<br>$s$ (-1/3)            | 4.18<br>$b$ (-1/3)               |
| $m_e$ $M_1$<br>$\nu_e$ (0) | $m_\mu$ $M_2$<br>$\nu_\mu$ (0) | $m_\tau$ $M_3$<br>$\nu_\tau$ (0) |
| 0.000511<br>$e$ (-1)       | 0.105658<br>$\mu$ (-1)         | 1.77682<br>$\tau$ (-1)           |

## Spin 1 (Gauge Bosons)



# Składzik z narzędziami QFT

+

•

0

Relatywistyka

Równanie Schrödingera

Równanie Kleina-Gordona

Równanie Eulera-Lagrange'a

Pole elektromagnetyczne

Czterowektory  
Interwał czasoprzestrzenny  
Tensor metryczny  
Operatory różniczkowania

Równanie ciągłości.  
Gęstość prawdopodobieństwa

# Opis układu w mechanice kwantowej

- Stan cząstki – funkcja falowa:  $\Psi(\vec{x}, t) = N e^{i(\vec{p} \cdot \vec{x} - Et)}$ .
- Kinematyka:

$H$  określa dynamikę układu,  
 $\Psi(\vec{x}, t)$  zawiera informację o  
pozycji cząstek

$$\text{Równanie Schrödingera: } i\hbar \frac{\partial \Psi(\vec{x}, t)}{\partial t} = -\frac{1}{2m} \frac{\partial^2 \Psi(\vec{x}, t)}{\partial x^2} + \hat{V}(\vec{x}, t)$$

opisuje cząstki nierelatywistyczne

- Równanie ruchu:  $i\hbar \frac{\partial \Psi(\vec{x}, t)}{\partial t} = H(x) \Psi$
- Transformacje do innego układu  $x \rightarrow x'$  i funkcja falowa  $\Psi'(x')$  powinna opisywać to samo zdarzenie co  $\Psi(x)$ , a związek jest, np poprzez pewien operator  $U$ :

$$\Psi'(x') = U \Psi(x)$$

- Dwa rodzaje transformacji:

zmiana układu (opisu współrzędnych)  $x \rightarrow x' \equiv f(x)$

transformacji funkcji falowej (stanu układu):  $\Psi \rightarrow \Psi' \equiv U \Psi$

# Transformacje funkcji falowych i operatorów

- Zapis bra-ketowy:  $\Psi_a \equiv |a\rangle$ , wtedy:  $\Psi'_a \equiv U \Psi_a$ , co zapisujemy jako  $|a'\rangle = U|a\rangle$

a jak zapiszemy  $\Psi'^{\dagger}_a \equiv \Psi^{\dagger}_a U^{\dagger}$  to  $\langle a'| = \langle a| U^{\dagger}$

- Iloczyn  $\langle b'|a'\rangle = \langle b|U^{\dagger}U|a\rangle$  i jest równy  $\langle b|a\rangle$  dla dowolnych  $\Psi_a, \Psi_b$  gdy  $U^{\dagger}U = I$ . Transformacja funkcji falowych jest **unitarna**.

- Rozważmy obserwabłę  $A$  i element macierzowy  $\langle b|A|a\rangle \equiv \int \Psi_b^{\dagger} A \Psi_a d^3x$

Chcemy, aby  $\langle b'|A|a'\rangle = \langle b|A|a\rangle$  dla każdego  $\Psi_a$  i  $\Psi_b$ .

Mamy:

$$\langle b|U^{\dagger}A'U|a\rangle = \langle b|A|a\rangle$$

$$\Rightarrow U^{\dagger}A'U = A$$

$$\Rightarrow A' = U^{\dagger}A'U$$

Gdy  $A$  ma być niezmiennicze, to  $A = A = A'$

$$\Rightarrow U^{\dagger}A'U = A$$

$$\Rightarrow UA = AU$$

$$[A, U] = 0$$

Jaką postać mógłby mieć operator  $U$ , taki że  $\Psi \rightarrow \Psi' = U \Psi$  ?

np.  $U = \exp(iaX)$ , a funkcję  $X$  nazywamy **generatorem** transformacji

# Symetrie w mechanice kwantowej

- Transformacja (przekształcenie)

$$H \rightarrow H' = U H U^\dagger, \quad U U^\dagger = I, \quad \text{stąd } U \text{ jest unitarne}$$

$$\Psi \rightarrow \Psi' = U \Psi$$

$$\text{dają: } i\hbar \frac{\partial \Psi'(\vec{x}, t)}{\partial t} = H'(x) \Psi'$$

- Układ ma pewną symetrię (to jest symetria operatora), gdy  $H = H'$

$$U H U^\dagger = H$$

$$U H = H U$$

$$[H, U] = 0$$

$$\text{np: } [H, \exp(iaX)] = 0 \Rightarrow [H, \exp(iaX)] = 0 \text{ oraz } \left[ H, \sum \frac{1}{p!} (iaX)^p \right] = 0$$

$$\text{no dla każdego „a” mam } [H, X] = 0$$

Jeśli Hamiltonian układu jest niezmienniczy względem transformacji unitarnej generowanej przez operator (hermitowski)  $X$ , to oznacza istnienie zasady zachowania związanej z tym operatorem  $X$ .

## Symetrie

Translacje w czasie i przestrzeni (t,x)

Obroty w przestrzeni

Odbicie lustrzane

Transformacja cechowania

## Zachowane

Energia i pęd (E,p)

Moment Pędu

Parzystość przestrzenna

Ładunek

Uwaga:

Odbicie w czasie i obroty w czasoprzestrzeni nie są opisane transformacją unitarną i nie prowadzą do zachowanych parametrów



# Funkcja Lagrange'a

Model Standardowy, który opisuje wszystkie oddziaływania (poza grawitacyjnym) pomiędzy cząstkami elementarnymi, opiera się na kwantowej teorii pola.

Podstawowym elementem tej teorii, który w istocie decyduje o dynamice cząstek jest funkcja Lagrange'a (*lagranżjan*).

Przypomnienie z mechaniki klasycznej

Równanie ruchu cząstki w mechanice Newtona:  $\vec{F} = m \vec{a} = m \frac{d\vec{v}}{dt}$

Jeśli siły są zachowawcze, to można wprowadzić energię potencjalną  $\vec{F} = -\nabla U$

**Lagranżjan** to funkcja uogólnionych współrzędnych  $q_i$  i ich pochodnych czasowych  $\dot{q}_i$ , wyrażająca różnicę energii kinetycznej i potencjalnej:

$$L(q_i, \dot{q}_i) = T - U$$

→ Znając lagranżjan możemy wyprowadzić równania ruchu układu stosując równanie Eulera–Lagrange'a:

$$\frac{d}{dt} \left( \frac{\partial L}{\partial \dot{q}_i} \right) - \frac{\partial L}{\partial q_i} = 0$$

# Funkcja Lagrange'a

Przykład : ruch jednej cząstki w polu energii potencjalnej  $U(\vec{r})$

$$L(x, y, z, \dot{x}, \dot{y}, \dot{z}) = \frac{1}{2} m \vec{v}^2 - U(\vec{r}) = \frac{1}{2} m (\dot{x}^2 + \dot{y}^2 + \dot{z}^2) - U(x, y, z)$$

np. dla składowej  $x$  mamy:

$$\left. \begin{aligned} \frac{\partial L}{\partial \dot{x}} &= m \dot{x} = m v_x \\ \frac{d}{dt} \left( \frac{\partial L}{\partial \dot{x}} \right) - \frac{\partial L}{\partial x} &= 0 \end{aligned} \right\} m \frac{dv_x}{dt} = F_x$$

$$\frac{\partial L}{\partial x} = -\frac{\partial U}{\partial x} = F_x$$

## Relatywistyczna teoria pola

W QFT podstawowymi obiektami są pola, których wzbudzenia interpretujemy jako cząstki. Pola te są ciągłymi funkcjami współrzędnych czasoprzestrzennych  $x^\mu$

→ Przez analogię do mechaniki klasycznej wprowadza się gęstość lagranżjanu, której niezależnymi współzrędnymi są pola i ich pochodne:

$$L(q_i, \dot{q}_i) \rightarrow \mathcal{L}(\phi_i(x^\mu), \partial_\mu \phi_i) \quad L = \int \mathcal{L} d^3x$$

$$x^\mu = (x^0, \vec{x}) = (ct, x, y, z) \quad \partial_\mu = \frac{\partial}{\partial x^\mu} = \left( \frac{1}{c} \frac{\partial}{\partial t}, \nabla \right)$$

$$x_\mu = (x^0, -\vec{x}) = (ct, -x, -y, -z) \quad \partial^\mu = \frac{\partial}{\partial x_\mu} = \left( \frac{1}{c} \frac{\partial}{\partial t}, -\nabla \right)$$

# Funkcja Lagrange'a

- Podanie gęstości lagranżjanu praktycznie określa teorię dla zadanych pól. Wynikają z niego wszystkie reguły rachunkowe, np. reguły obliczania diagramów Feynmana. Podobnie jak w mechanice klasycznej, rachunek minimalnego (stacjonarnego) działania prowadzi do równań typu Eulera–Lagrange'a:

$$\partial_\mu \left( \frac{\partial \mathcal{L}}{\partial (\partial_\mu \phi_i)} \right) - \frac{\partial \mathcal{L}}{\partial \phi_i} = 0 \quad \text{równania pola}$$

Przykład 1 : **swobodna** (nie oddziałująca) cząstka skalarna (spin 0) o masie  $m$  opisana jest przez pole skalarne  $\phi$  i gęstość lagranżjanu:

$$\mathcal{L}_s = \frac{1}{2} \underbrace{(\partial_\mu \phi)(\partial^\mu \phi)}_{(\partial_0 \phi \partial_0 \phi - \partial_1 \phi \partial_1 \phi - \partial_2 \phi \partial_2 \phi - \partial_3 \phi \partial_3 \phi)} - \frac{1}{2} \left( \frac{mc}{\hbar} \right)^2 \phi^2 \quad \Rightarrow \quad \frac{\partial \mathcal{L}}{\partial \phi} = - \left( \frac{mc}{\hbar} \right)^2 \phi, \quad \frac{\partial \mathcal{L}}{\partial (\partial_0 \phi)} = \partial_0 \phi = \partial^0 \phi$$

$$\frac{\partial \mathcal{L}}{\partial (\partial_1 \phi)} = -\partial_1 \phi = \partial^1 \phi, \dots$$

$$\Rightarrow \partial_\mu \partial^\mu \phi + \left( \frac{mc}{\hbar} \right)^2 \phi = 0 \quad \Rightarrow \quad \frac{1}{c^2} \frac{\partial^2 \phi}{\partial t^2} - \nabla^2 \phi + \left( \frac{mc}{\hbar} \right)^2 \phi = 0$$

$$\Rightarrow \boxed{-\frac{1}{c^2} \frac{\partial^2 \phi}{\partial t^2} + \nabla^2 \phi = \left( \frac{mc}{\hbar} \right)^2 \phi} \quad \text{równanie Kleina Gordona}$$

# Funkcja Lagrange'a

Przykład 2 : swobodna cząstka wektorowa o spinie 1 (np. foton)

Jej pole jest opisane przez czterowektor  $A^\mu$  i lagranżjan:

$$\mathcal{L}_{\text{Proca}} = -\frac{1}{4}(\partial^\mu A^\nu - \partial^\nu A^\mu)(\partial_\mu A_\nu - \partial_\nu A_\mu) + \frac{1}{2}\left(\frac{mc}{\hbar}\right)^2 A^\nu A_\nu$$

Wprowadzając oznaczenie  $F^{\mu\nu} \equiv (\partial^\mu A^\nu - \partial^\nu A^\mu)$

możemy napisać zgrabniej:

$$\mathcal{L}_{\text{Proca}} = -\frac{1}{4}F^{\mu\nu}F_{\mu\nu} + \frac{1}{2}\left(\frac{mc}{\hbar}\right)^2 A^\nu A_\nu$$

Wynikają z tego równania pola:  $\partial_\mu F^{\mu\nu} + \left(\frac{mc}{\hbar}\right)^2 A^\nu = 0$

→ W przypadku pola e-m (fotony,  $m = 0$ ) tradycyjnie zapisujemy  $A^\mu = (\phi, \vec{A})$

$$\begin{aligned} \text{mamy do tego: } \vec{E} &= -\frac{1}{c} \frac{\partial \vec{A}}{\partial t} - \vec{\nabla} \phi \\ \vec{B} &= \vec{\nabla} \times \vec{A} \end{aligned} \quad \Rightarrow \quad F^{\mu\nu} = \begin{pmatrix} 0 & -E_x & -E_y & -E_z \\ E_x & 0 & -B_z & B_y \\ E_y & B_z & 0 & -B_x \\ E_z & -B_y & B_x & 0 \end{pmatrix}$$

$$\mathcal{L}_{EM} = -\frac{1}{4}F^{\mu\nu}F_{\mu\nu} = \frac{1}{2}(\vec{E}^2 - \vec{B}^2) \quad \Rightarrow \quad \boxed{\partial_\mu F^{\mu\nu} = 0} \quad \text{równania Maxwella w próżni}$$

## Symetria cechowania

Jedną z głównych idei Modelu Standardowego jest tzw. lokalna symetria cechowania (*local gauge invariance*). Idea ta pozwala w bardzo elegancki sposób wprowadzić do teorii oddziaływania między cząstkami. Zobaczmy najpierw jak to funkcjonuje w najprostszym przypadku elektrodynamiki.

Przypomnijmy lagranżjan Diraca (cząstka swobodna):

$$\mathcal{L}_D = i(\hbar c) \bar{\psi} \gamma^\mu \partial_\mu \psi - (mc^2) \bar{\psi} \psi$$

Łatwo zobaczyć, że jest on niezmienniczy względem transformacji:

$$\psi \rightarrow e^{i\theta} \psi \quad - \text{globalna zmiana fazy}$$

Mamy bowiem  $\bar{\psi} \rightarrow e^{-i\theta} \bar{\psi}$ , więc w wyrażeniach  $\bar{\psi} \psi$  czynniki fazowe się kasują.

- Żądamy teraz (postulat teorii) czegoś znacznie mocniejszego – aby lagranżjan był niezmienniczy względem transformacji, w której zmiana fazy może być inna w każdym punkcie czasoprzestrzeni!

$$\psi \rightarrow e^{i\theta(x)} \psi \quad - \text{lokalna zmiana fazy}$$

Niezmienniczość względem tej transformacji jest właśnie lokalną symetrią cechowania

Napotykaemy jednak na trudność, bo operacja różniczkowania tworzy dodatkową funkcję  $x$ , która łamie symetrię.

Najpierw zmieniamy nieco zapis, chcemy aby:  $\psi \rightarrow e^{iq\lambda(x)/\hbar c} \psi = \psi'$  (♦)

$$\Rightarrow \partial_\mu \psi' = e^{iq\lambda(x)/\hbar c} \partial_\mu \psi + \frac{iq}{\hbar c} \partial_\mu \lambda(x) e^{iq\lambda(x)/\hbar c} \psi \quad q - \text{ładunek cząstki Diraca}$$

$$\text{a zatem } \mathcal{L}' = i(\hbar c) \bar{\psi}' \gamma^\mu \partial_\mu \psi' - (mc^2) \bar{\psi}' \psi' = \mathcal{L} - q \bar{\psi} \gamma^\mu \partial_\mu \lambda(x) \psi$$

Aby odzyskać niezmienniczość musimy coś dodać: pole wektorowe, które przy transformacji cechowania będzie się tak zmieniać, żeby ten dodatkowy wyraz zniknął

Zmianę tę wyrażamy przez podstawienie:  $\partial_\mu \rightarrow \mathcal{D}_\mu = \partial_\mu + i \frac{q}{\hbar c} A_\mu$

$$\begin{aligned} \Rightarrow \mathcal{L} &= i(\hbar c) \bar{\psi} \gamma^\mu \mathcal{D}_\mu \psi - (mc^2) \bar{\psi} \psi = i(\hbar c) \bar{\psi} \gamma^\mu \left( \partial_\mu + i \frac{q}{\hbar c} A_\mu \right) \psi - (mc^2) \bar{\psi} \psi \\ &= i(\hbar c) \bar{\psi} \gamma^\mu \partial_\mu \psi - (mc^2) \bar{\psi} \psi - q \bar{\psi} \gamma^\mu \psi A_\mu \end{aligned}$$

Wyrażenie to będzie niezmiennicze względem (♦), jeśli jednocześnie nowe pole zmieni się zgodnie z:

$$A_\mu \rightarrow A'_\mu = A_\mu - \partial_\mu \lambda(x) \quad \text{a to przecież wygląda jak znana transformacja cechowania pól elektromagnetycznych!}$$

To jeszcze nie koniec. Dodaliśmy do teorii nowe pole wektorowe, musimy więc jeszcze dodać wyraz „swobodny” tego pola. Odpowiedni jest tu lagranżjan Proca, ale musimy położyć w nim  $m = 0$  aby zachować niezmienniczość względem ( $\blacklozenge$ ). To nowe pole  $A$  to potencjały elektrodynamiczne reprezentujące foton!

→ Ostatecznie dostajemy pełny lagranżjan elektrodynamiki kwantowej:

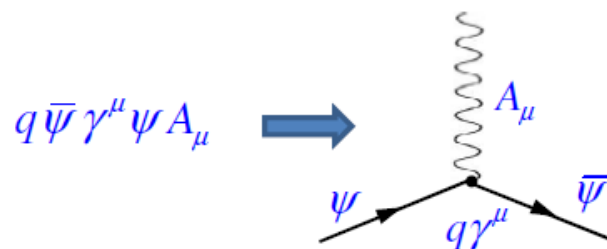
$$\mathcal{L}_{QED} = \underbrace{i(\hbar c) \bar{\psi} \gamma^\mu \partial_\mu \psi - (mc^2) \bar{\psi} \psi}_{\text{swobodny elektron}} - \underbrace{\frac{1}{4} F^{\mu\nu} F_{\mu\nu}}_{\text{swobodny foton}} - \underbrace{q \bar{\psi} \gamma^\mu \psi A_\mu}_{\text{oddziaływanie foton - elektron}} \quad \text{QED}$$

→ Równania Eulera – Lagrange’a dla pól  $A$  (dwa ostatnie wyrazy) dadzą nam:

$$\partial_\mu F^{\mu\nu} = j^\nu \quad \text{gdzie} \quad j^\mu = q \bar{\psi} \gamma^\mu \psi \text{ est czterowektorem prądu}$$

Sa to **równania Maxwella** w obecności źródeł !

→ Człon oddziaływania determinuje elementarny diagram Feynmana dla oddziaływania fermion-foton





## Podsumujmy

- Wyszliśmy od lagranżjanu cząstki swobodnej (elektronu) i zażądaliśmy lokalnej symetrii cechowania, w tym przypadku niezmienniczości względem lokalnej zmiany fazy:

$$\psi \rightarrow S\psi = e^{iq\lambda(x)/\hbar c} \psi \quad - \text{unitarna operacja, która tworzy grupę } \mathbf{U(1)}$$

- Wymusiło to dodanie nowego pola – *pola cechowania*  $A_\mu$  – które reprezentuje cząstkę – *bozon cechowania* – oddziałujący z elektronem. Cząstka ta (foton) musiała być bezmasowa!
- Pole cechowania musiało być przy tym niezmiennicze względem transformacji:

$$A_\mu \rightarrow A'_\mu = A_\mu - \partial_\mu \lambda(x)$$

- Pole cechowania wprowadziliśmy stosując podstawienie:

$$\partial_\mu \rightarrow \mathcal{D}_\mu = \partial_\mu + i \frac{q}{\hbar c} A_\mu$$

- a postać transformacji dla pól cechowania wynikała z żądania, aby:

$$\mathcal{D}_\mu \psi \rightarrow \mathcal{D}_\mu S\psi = S \mathcal{D}_\mu \psi$$

➔ W wyniku dostaliśmy pełny opis oddziaływania między elektronami i fotonami!